

Список литературы

- [1] Kremer R.K., Sigmund E., Hizhnyakov V., Heinth F., Simon A., Muller K.A., Mehring M. Z. Phys. B. Cond. Matter. **86**, 319 (1992).
- [2] Aristov D.N., Maleev S.V. Z. Phys. **B93**, 181 (1994).
- [3] Baranov P.G., Badalyan A.G. In: Phase Separation in Cuprate Superconductors / Ed. E. Sigmund, K.A. Muller. Springer (1994).
- [4] Bakharev O.N., Dooglav A.V., Egorov A.V., Mavrin O.B., Naletov V.V., Teplov M.A., Volodin A.G., Wagner D. In: Phase Separation in Cuprate Superconductors / Ed. E. Sigmund, K.A. Muller. Springer (1994).
- [5] Eremin M.V., Sigmund E. Solid State Commun. **92**, 5, 367 (1994).
- [6] Nozaki H., Itoh S. Phys. Rev. **B48**, 10, 7583 (1993).
- [7] Clementi E., Rosetti C. At. Data Nucl. Data Tables, **14**, 177 (1974).
- [8] Schmidt P.C., Weiss A., Das T.P. Phys. Rev. **B19**, 11, 5525 (1979).
- [9] Faucher M., Garcia D. Phys. Rev. **B26**, 10, 5451 (1982).
- [10] Bi X.X., Eklund P.C. Phys. Rev. Lett. **70**, 2625 (1993).

Физика твердого тела, том 38, № 3, 1996
Solid State Physics, vol. 38, N 3, 1996

ЭПР-ИССЛЕДОВАНИЯ СИСТЕМЫ $Mn_xV_{1-x}S$

© A.M. Воротынов, Г.В. Лосева

Институт физики им. Л.В.Киренского Российской академии наук,
660036 Красноярск, Россия
(Поступило в Редакцию 6 июля 1995 г.)

Создание и исследование новых соединений 3d-металлов с переходом металл-диэлектрик (ПМД), когда электронные превращения сопровождаются изменениями в кристаллической структуре и магнитных свойствах, являются в настоящее время одной из актуальных проблем физики конденсированных веществ и прикладной электроники^[1].

Вакантные системы твердых растворов, созданные на основе двух моносульфидов 3d-металлов (структура NiAs), в которых реализуется ПМД по температуре и концентрации, обладают широким диапазоном и сочетанием электрических и магнитных свойств^[2].

Для изучения взаимосвязи электронных превращений (ПМД) с изменениями в структуре и магнитном упорядочении этих сульфидных систем требуется привлечение различных экспериментальных методов исследования. Однако для получения более полной информации о состоянии электронной системы в магнитоупорядоченных сульфидах или сульфидах без магнитного порядка, но с магнитными примесями полезно привлечение методов магнитного резонанса. Следует отметить, что именно такая информация о сульфидах с ПМД практически отсутствует.

В настоящей работе впервые сообщаются результаты исследований ЭПР сульфидов системы $Mn_xV_{1-x}S$ ($0 < x < 1$).

1. Образцы и методика эксперимента

Поликристаллические образцы системы получены в вакуумированных кварцевых ампулах из чистых элементов по методикам, описанным в [3,4]. Образцы представляли собой твердые растворы со структурой типа VS (MnP -решетка) для $0 < x < 0.4$ и кубической ГЦК-решеткой $a\text{-MnS}$ ($NaCl$) для $0.5 < x < 1$.

Исследование ЭПР проводились на стандартном ЭПР-спектрометре SE/X-2544 ($\nu = 9.4$ GHz) в температурном диапазоне 77–300 K. Исследовались температурные и концентрационные зависимости ширины линии и интенсивности магнитного резонанса.

2. Результаты

Концентрационная зависимость ширины линии магнитного резонанса при комнатной и температуре жидкого азота показана на рис. 1. При концентрации ванадия $x = 0.05$ наблюдается максимум ширины линии, измеренной при комнатной температуре. При концентрациях ванадия $x > 0.25$ ширина линии магнитного резонанса не зависит от концентрации. Анализ формы линии магнитного резонанса показал, что при концентрациях атомов ванадия больше 0.6 форма линии является лоренцевой, а при меньших концентрациях отличается и от лоренцевой, и от гауссовой (рис. 2). Температурная эволюция формы линии, показанная на рис. 3, позволила объяснить это отличие одновременным существованием двух линий магнитного резонанса с g -фактором, равным 2.0036, и различной шириной линии. Температурная зависимость ширин линий и интенсивностей наблюдаемых магнитных резонансов для систем MnS и $Mn_{0.95}V_{0.05}S$ показана на рис. 4. Ширина линии монотонно возрастает при уменьшении температуры и при температурах Нееля 150 и 148 K соответственно критическиширяется и исчезает. При этом наблюдается остаточное резонансное поглощение со слабой интенсивностью (рис. 4), обусловленное ионами Mn^{2+} , остающимися парамагнитными ниже T_N .

Концентрационная зависимость интенсивности магнитного резонанса показана на рис. 5. Интенсивность резко уменьшается с увеличением концентрации ионов ванадия до $x = 0.15$ и слабо зависит от концентрации при $x > 0.15$.

В чистом соединении VS сигнала магнитного резонанса не наблюдалось во всем диапазоне исследуемых температур.

3. Обсуждение результатов

Измерения температурной зависимости электропроводности соединений $Mn_xV_{1-x}S$ [5] выявили, что составы с концентрацией $0.05 < x < 0.15$ являются изоляторами при $T = 77$ K с $\rho = 10^{12} \Omega \cdot \text{см}$ и полупроводниками при $T = 300$ K с $\rho = 10^4 \Omega \cdot \text{см}$. Составы с $0.15 < x < 0.5$ являются полупроводниками в температурном диапазоне 77–300 K с удельным сопротивлением порядка 10^6 и $10^2 \Omega \cdot \text{см}$ при $T = 77$ и 300 K соответственно. Резкое возрастание проводимости при увеличении концентрации ионов ванадия свидетельствует о коллективизации их

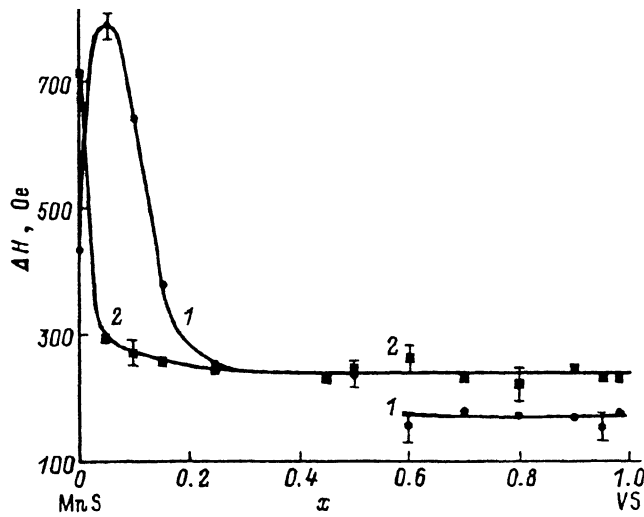


Рис. 1. Концентрационная зависимость ширины линии магнитного резонанса.
1 — при комнатной температуре, 2 — при температуре жидкого азота.

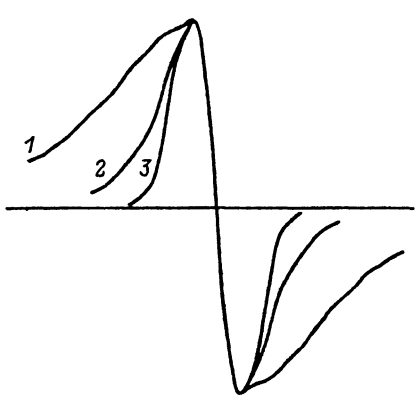


Рис. 2. Форма линии первой производной сигнала магнитного резонанса.

1 — экспериментальная кривая, 2 — лоренцева, 3 — гауссова.

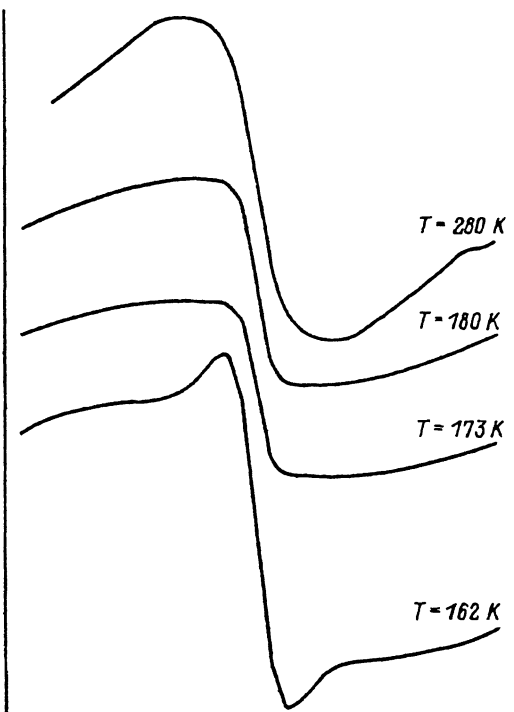


Рис. 3. Температурная эволюция первой производной сигнала магнитного резонанса для $Mn_0.95V_{0.05}S$.

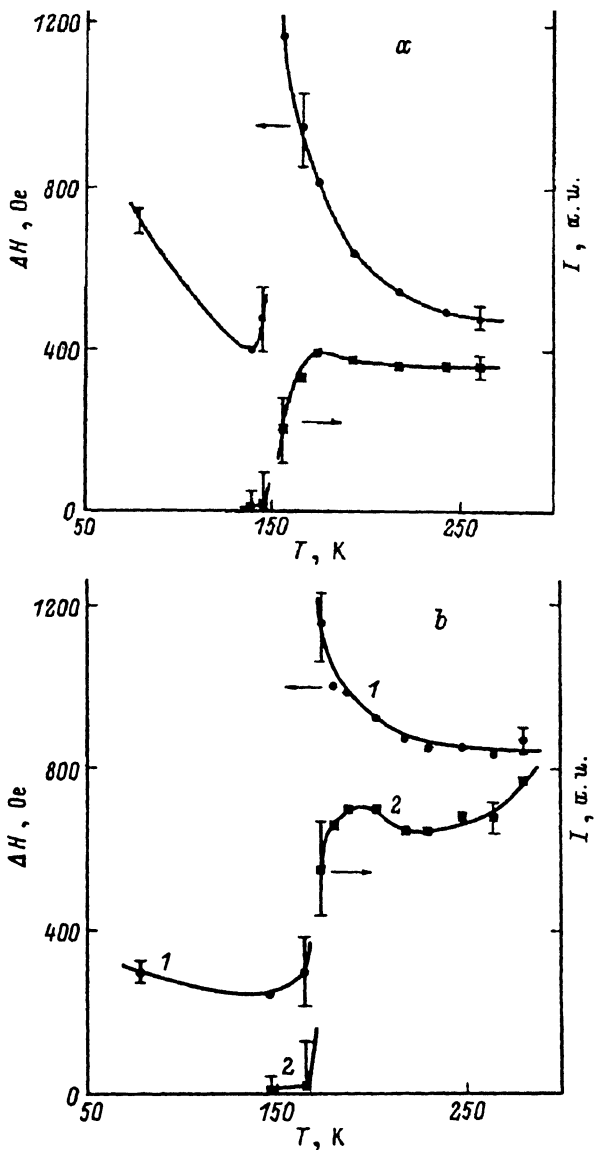


Рис. 4. Температурные зависимости ширины линии и интенсивности магнитного резонанса для MnS (a) и Mn_{0.95}V_{0.05}S (b).
1 — ширина линии, 2 — интенсивность.

электронов и формировании зоны проводимости в данных соединениях. Этот факт подтверждается отсутствием сигнала магнитного резонанса, обусловленного ионами V²⁺, так как наблюдение резонанса на электронах проводимости в данных соединениях чрезвычайно затруднено из-за малости длины свободного пробега электронов и довольно высоких температур измерений.

Результаты измерения магнитной восприимчивости, приведенные в [5], показывают резкое уменьшение эффективного магнитного момента

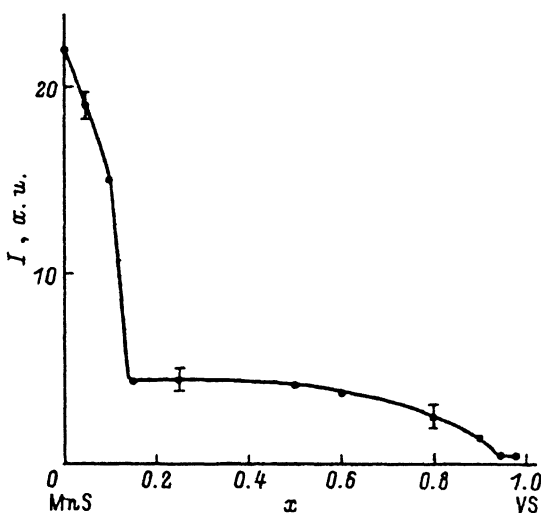


Рис. 5. Концентрационная зависимость интенсивности магнитного резонанса при комнатной температуре.

с увеличением концентрации ионов ванадия от 5.6 для MnS до 0.57 для Mn_{0.95}V_{0.05}S. Этот факт позволяет сделать предположение о том, что при введении ионов ванадия они образуют кластеры с двенадцатью ближайшими соседними ионами марганца, связанные сильным антиферромагнитным обменным взаимодействием. Численное моделирование методом Монте-Карло [5] показало, что в системе Mn_xV_{1-x}S при $x = 0.05$ существуют локализованные уровни ионов V²⁺, которые исчезают при увеличении концентрации ионов V²⁺ благодаря появлению обменных взаимодействий между ними.

Приведенные выше данные работы [5] позволяют объяснить наблюдаемый максимум ширины линии магнитного резонанса в концентрационной зависимости при комнатной температуре (рис. 1). При малых концентрациях ионов ванадия (порядка 0.05) образуются локализованные уровни антиферромагнитных кластеров Mn-V, что приводит к сильному разбросу локальных полей на ионах Mn²⁺, дающих сигнал резонанса, и соответственно к уширению линии магнитного резонанса. При дальнейшем увеличении концентрации ионов ванадия локализованные состояния кластеров исчезают, разброс локальных полей уменьшается, что приводит к сужению линии магнитного резонанса.

Резкое уменьшение интенсивности сигнала магнитного резонанса при увеличении концентрации ионов ванадия от 0 до 0.2 и увеличение при этом электропроводности свидетельствуют о том, что при введении в решетку MnS ионов ванадия происходит коллективизация электронов обоих ионов. Слабая зависимость ширины линии магнитного резонанса и его интенсивности от концентрации ионов ванадия при $x > 0.3$ позволяет сделать предположение, что при данной концентрации зона проводимости в данном соединении является полностью сформированной.

Анализ температурных зависимостей ширины линии магнитного резонанса и его интенсивности (рис. 4) позволяет сделать следующие выводы. Известно, что кристаллическая структура системы Mn_xV_{1-x}S

склонна к нестехиометрии, так что всегда существует часть ионов Mn^{2+} , связанная с остальными ионами матрицы ослабленными обменными взаимодействиями или вообще не связанная с ними. Таким образом, ширина линии магнитного резонанса, обусловленного основной частью матрицы ионов марганца и имеющего большую интенсивность, уширяется при понижении температуры и исчезает при $T = T_N$. При этом становится наблюдаемым сигнал магнитного резонанса малой интенсивности, обусловленный малой частью ионов марганца, остающихся парамагнитными ниже температуры Нееля. Таким образом, кривая 2 на рис. 1 обусловлена малой частью ионов марганца, остающихся парамагнитными при температуре жидкого азота, и не имеет максимума, описанного для кривой 1.

Выражаем благодарность Г.М.Мукоед за полезные обсуждения при выполнении работы.

Список литературы

- [1] Лосева Г.В., Овчинников С.Г., Петраковский Г.А. Переход металл-диэлектрик в сульфидах 3d-металлов. Новосибирск (1983). 143 с.
- [2] Petrakovskii G.A., Loseva G.A., Ryabinkina L.I., Aplesnin S.S. J. of Magnetic Materials. In print (1995).
- [3] Петраковский Г.А., Аплеснин С.С., Лосева Г.В., Рябинкина Л.И. ФТТ 31, 4, 172 (1989).
- [4] Петраковский Г.А., Лосева Г.В., Мукоед Г.М. ФТТ 36, 1, 112 (1994).
- [5] Петраковский Г.А., Аплеснин С.С., Лосева Г.В., Рябинкина Л.И., Янушкевич К.И., Баранов А.В. ФТТ 35, 8, 2225 (1993).

Физика твердого тела, том 38, № 3, 1996
Solid State Physics, vol. 38, N 3, 1996

АКУСТООПТИЧЕСКИЕ И УПРУГИЕ ПАРАМЕТРЫ ТЕЛЛУРИТА ВИСМУТА

© А.М. Антоненко, В.М. Горбенко, Л.Я. Садовская, С.Ю. Ермаков

Днепропетровский государственный университет,
320000 Днепропетровск, Украина
(Поступило в Редакцию 8 июля 1995 г.)

При создании различного рода акустооптических (АО) устройств важную роль играет выбор материала светозвукопровода. Расширение функционального использования эффекта АО-взаимодействия обуславливает необходимость поиска новых сред с оптимальным набором параметров. Получение и исследование физических свойств материалов на основе парателлурита в значительной мере обусловлены уникальными АО-свойствами TeO_2 и широким использованием этого материала при конструировании устройств акустоэлектроники. Имеющиеся в литературе сведения позволяют рассматривать теллуриты как перспективные АО-среды и определяют интерес к синтезу этих материалов. Одним из наиболее изученных в настоящее время является теллурит висмута Bi_2TeO_5 . Такой интерес к Bi_2TeO_5 связан с его сегнетоэлектрическими и фоторефрактивными свойствами [1,2]. Оценоч-